

Для оценки  $K$  в (1) используются характерные для оксидных и металлических фаз значения параметров  $R_\phi = 1 \text{ см}$ ,  $r_\tau = 10^{-2} \text{ см}$ ,  $l_0 = 4 \cdot 10^{-2} \text{ см}$ ,  $a_p \approx 10^{-3} \text{ см}^2/\text{с}$ ,  $a_\tau \approx 10^{-2} \text{ см}^2/\text{с}$ ,  $a_0 \approx 10^{-3} \text{ см}^2/\text{с}$  [3, 4, 6].

Подставляя эти значения в (1) и (2), получим  $K \approx 10^{-3} \ll 1$ . Экспериментально измеренные максимальные температуры хорошо коррелируют с расчетными при  $\alpha_{\text{Al}} = 12 \div 30 \%$  (см. рис. 3). При этом кривая (2), полученная при измерении термопарами с более тонкими кварцевыми чехлами ( $l_0 = 0,4 \text{ мм}$ ), находится ближе к расчетной 1, чем кривая 3 ( $l_0 = 1 \text{ мм}$ ). Так как при расчете температуры (см. рис. 3, 1) не учитывали теплопотери, а экспериментальная кривая 2 дает заниженные значения, то величины  $T_r$  в системе должны находиться в области между кривыми 2 и 1.

Превышение экспериментальных температур над расчетными при  $\alpha_{\text{Al}} > 30 \%$  объясняется тем, что при  $\alpha_{\text{Al}} > \alpha_{\text{Al}}^{\text{стек}}$  ( $\alpha_{\text{Al}}^{\text{стек}}$  — количество алюминия, необходимое для восстановления оксида железа) в системе появляется «лишний» алюминий, растворяющийся в восстановленном железе. В результате при больших  $\alpha_{\text{Al}}$  выделяется заметное количество тепла, не учтенное в расчете величины  $T_r$ . Эксперименты показали хорошую корреляцию скорости и температур горения:

$$u_0^2 \sim e^{-E/RT_r}.$$

Таким образом, в работе показано, что для изучения процесса горения высокоэксогетермических жидкофазных систем можно применять термоэлектрическую методику, используя различные варианты защиты термопар.

Авторы выражают благодарность А.А. Ширяеву за проведение термодинамических расчетов температуры горения.

#### ЛИТЕРАТУРА

- Мержанов А.Г., Юхвид В.И., Боровинская И.П. Самораспространяющийся высокотемпературный синтез литых тугоплавких неорганических соединений // Докл. АН СССР. — 1980. — 255, № 1. — С. 120—124.
- Юхвид В.И., Боровинская И.П., Мержанов А.Г. Влияние давления на закономерности горения плавящихся гетерогенных систем // ФГВ. — 1983. — № 3. — С. 30—32.
- Юхвид В.И. Структурная динамика систем окисел металла — алюминий — углерод в процессах горения и химического превращения // В сб.: «Проблемы структурной макрокинетики». — Черноголовка, 1990. — С. 108—123.
- Маслов В.М., Боровинская И.П., Мержанов А.Г. Экспериментальное определение максимальных температур процессов самораспространяющегося высокотемпературного синтеза // ФГВ. — 1978. — № 5. — С. 79—85.
- Мержанов А.Г., Китайн М.М., Гольдшлегер У.И. и др. Термодинамический анализ взаимодействия окислов железа с метанокислородной смесью // Докл. АН СССР. — 1977. — 237, № 2. — С. 391—394.
- Маурах М.А., Митин Б.С. Жидкие тугоплавкие окислы. — М.: Металлургия, 1979. — 109 с.

142432 п. Черноголовка,  
ИСМ РАН

Поступила в редакцию 13/1 1994

УДК 536.46 + 536.2

Г.Н. Исаков

#### АНАЛИЗ ПРОЦЕССОВ ВОСПЛАМЕНЕНИЯ ГЕТЕРОГЕННЫХ СИСТЕМ ПРИ НЕСТАЦИОНАРНОМ ТЕПЛО- И МАССООБМЕНЕ НА ПРИМЕРЕ СМЕСЕВОГО СОСТАВА ПММА + ПХА

Проведено математическое моделирование процессов зажигания гетерогенных систем при нестационарном тепло- и массообмене с учетом двухстадийной реакции термодеструкции окислителя и горючего-связующего, гетерогенной реакции окисления горючего вокруг зерен ПХА, интегрального тепловыделения от газофазных реакций через эффективные высоты отдельно взятых пламен, а также влияния продуктов терморазложения на радиационно-кон-

© Г.Н. Исаков, 1994.

вективный тепло- и массообмен с внешней средой. Предложенная модель апробирована на модельной смесевой системе ПММА + ПХА.

Детальный анализ стационарных моделей горения гетерогенных систем, проведенный в [1—3], дает возможность представить картину физико-химических превращений с учетом многокомпонентности, стехиометрии и полидисперсности составов, вклада конденсированной и газовой фаз в энергетический баланс протекающих процессов при оценке интегральных характеристик горения (скорости, ее чувствительности к изменению давления, начальной температуры и т.д.). Математическое описание этих процессов во многих случаях с достаточной степенью надежности позволяет прогнозировать влияние различных факторов на стационарную скорость горения гетерогенных систем в области стехиометрического соотношения компонентов [1—3]. Роль конденсированной фазы в ряде моделей считается пре-валирующей (см., например, [1, 2]).

Слабее развита теория нестационарного тепло- и массообмена, воспламенения (зажигания) и горения в гетерогенных системах, когда роль кинетических факторов существенно возрастает. Здесь представления базируются либо на брутто-процессах в конденсированной фазе [2], либо предпочтение отдается газофазным реакциям (так называемые «газофазные модели» [4, 5]). В последнее время наметилась тенденция к детализации физико-химических превращений, протекающих в прогретых слоях гетерофазных систем, особенно при моделировании процессов воспламенения [6—10]. Предложенные модели позволяют учсть кинетическую индивидуальность компонентов [6, 9, 10], влияние испарения и окислительной среды на зажигание горючего-связующего [7, 8, 11], а также размеров частиц твердо-го окислителя в полимерной матрице [9] на воспламенительную способность гетерогенной системы. Наиболее полной считается (по мнению авторов) модель воспламенения, предложенная в [9]. Она учитывает неоднородность распределений температур в зерне окислителя и в горючем, однако дальнейший анализ результатов выявил слабую чувствительность задержек воспламенения к размерам частиц окислителя. По-видимому, сказывается отсутствие в кинетической схеме гетерогенной реакции между компонентами [2, 11] и неучет многостадийности процесса термодеструкции связующего [12], включающей разрушение слабых звеньев и их испарение с поверхности.

Цель данного исследования — создание математической модели нестационарного тепло- и массопереноса и зажигания в гетерогенных системах, а также проверка ее работоспособности на примере модельной смеси полиметилметакрилата (ПММА) с перхлоратом аммония (ПХА).

### Математическая формулировка задачи

Исходя из современных представлений о стационарном горении смесевых систем [1—3, 5, 11] с учетом основных стадий термодеструкции и испарения компонентов [12—16], запишем систему нестационарных уравнений тепло- и массопереноса со следующими допущениями:

- 1) смесевая реагирующая система считается одномерной и однотемпературной с условиями «квазигомогенности»  $2\bar{R}_o < 2\sqrt{a_s t_{ign}}$ , где  $\bar{R}_o$  — радиус зерен ПХА,  $a_s$  — температуропроводность,  $t_{ign}$  — время зажигания;
- 2) возможные термические напряжения за счет усадки и расширения не учитываются;
- 3) полупрозрачностью среды и диспергированием [1] при горении пренебрегаем;
- 4) диссоциация, разрыв слабых связей при термодеструкции [12], гетерогенное окисление [7, 11] и испарение [8] компонентов происходит вблизи поверхности зерна окислителя по схеме [1, 11] с эффективным радиусом  $\bar{R}_o$ ;

5) полидисперсность твердого окислителя незначительна, поэтому можно применять определенные через объемные доли отдельных фракций брутто-размеры зерен ПХА [1];

6) используются эффективные теплофизические характеристики, зависящие лишь от компонентного состава;

7) тепловыделение от химических реакций в газовой фазе в послевоспламенительный период определяется кинетическими параметрами и высотой пламени [11, 13].

В рамках принятых допущений краевая задача о нестационарном тепломассопереносе в многокомпонентной гетерогенной смеси сводится к решению следующей системы дифференциальных уравнений:

$$\rho_s C_{ps} \left( \frac{\partial T_s}{\partial t} + U_s \frac{\partial T_s}{\partial y} \right) = \frac{\partial}{\partial y} \left( \lambda_s \frac{\partial T_s}{\partial y} \right) + \frac{2\varphi_{ws}}{R_o} (1 - \eta_{ws}) (qk_o)_w (\rho_e C_{ew})^v \exp \left( \frac{E_w}{RT_s} \right) + \varphi_o \rho_o Q_0 k_{oo} (1 - \eta_o)^{n_o} \exp \left( - \frac{E_o}{RT_s} \right) - \varphi_f \rho_f k_{of} (1 - \eta_f)^{n_f} \exp \left( - \frac{E_f}{RT_s} \right), \quad (1)$$

$$\frac{\partial(\varphi_o \eta_o)}{\partial t} + U_s \frac{\partial(\varphi_o \eta_o)}{\partial y} = \varphi_o k_{oo} (1 - \eta_o)^{n_o} \exp \left( - \frac{E_o}{RT_s} \right), \quad (2)$$

$$\frac{\partial(\varphi_f \eta_f)}{\partial t} + U_s \frac{\partial(\varphi_f \eta_f)}{\partial y} = \varphi_f k_{of} (1 - \eta_f)^{n_f} \exp \left( - \frac{E_f}{RT_s} \right), \quad (3)$$

$$\frac{\partial(\varphi_{ws} \eta_{ws})}{\partial t} = \frac{2\varphi_{ws}}{\rho_s R_o} (1 - \eta_{ws}) k_{ow} (\rho_{ew} C_{ew})^v \exp \left( - \frac{E_w}{RT_s} \right). \quad (4)$$

Начальные и граничные условия:

$$t = 0: T_s = T_{sb}, \eta_o = \eta_f = \eta_{ws} = 0, \\ y = \infty: T_s = T_{sb}, \eta_o = \eta_f = \eta_{ws} = 0, \frac{\partial T_s}{\partial y} = 0, \quad (5)$$

$$y = 0: -\lambda_s \frac{\partial T_s}{\partial y} = \alpha_x \left( 1 - \frac{\Delta \alpha_x}{\alpha_x} \right) (T_e - T_w) + q_{rw}(T_w) + \varphi_o U_s (\rho_o h_o)_w - \varphi_f U_s (\rho_f h_f)_w + Q_{fw} \frac{\partial(\varphi_f \eta_{fw})}{\partial t} - r_v \rho_{ow} \frac{\partial(\varphi_v \eta_{ow})}{\partial t}, \quad (6)$$

где

$$\rho_{fw} \frac{\partial(\varphi_f \eta_{fw})}{\partial t} = \varphi_f (1 - \eta_{fw}) k_{of} (\rho_{fw})^z \exp \left( - \frac{E_f}{RT_w} \right), \\ \rho_{ow} \frac{\partial(\varphi_v \eta_{ow})}{\partial t} = \frac{2}{R_o} \frac{A_o \varphi_o (1 - \eta_{ow})}{\sqrt{2\pi RT_w/M_w}} \left[ p_{ow} \exp \left( - \frac{L_o}{RT_w} \right) - \frac{p_o C_{ow}}{M_o \sum_i C_i / M_i} \right]. \quad (7)$$

Для замыкания системы (1) — (4) с условиями однозначности (5) — (7) необходимо добавить уравнение состояния для паро- и газообразных компонентов

$$\rho_{ij} = p_e M_{ij} / (RT_{ij}) \quad (i = e, v, f; j = *, w, o, f, \text{comb}) \quad (8)$$

и закон Стефана — Больцмана для теплообмена излучением

$$q_{rw}(T_w) = \sigma A_{\text{eff}} (T_{\text{rad}}^4 - T_w^4) = \sigma A_{\text{eff}} T_{\text{rad}}^4 (1 - T_w^4 / T_{\text{rad}}^4), \quad (9)$$

где эффективная функция радиационных параметров  $A_{\text{eff}}$  для оптических серых сред определяется по формулам из [7]. В частном случае

$T_v/T_{rad} < 0,5$  величину  $q_{rw} = \sigma A_{eff} T_{rad}^4$  можно считать постоянной (с погрешностью менее 6 %).

Отметим, что в рамках однотемпературной и одномерной модели для учета влияния развитой поверхности на гетерогенные процессы вокруг зерен ПХА в уравнения (1), (4) и (7) введена удельная поверхность  $S_o/V_o$ . Принимая во внимание поправки из [1], она для частиц сферической формы равна  $\approx 2/R_o$ . Аналогичным образом  $S/V$  может быть определено для зерен окислителя различных размеров и конфигурации (цилиндр, пластина).

В уравнениях (1)–(4), условиях однозначности (5)–(7) и в выражениях (8), (9) приняты следующие обозначения:  $t$ ,  $y$ ,  $T$  — время, поперечная координата и температура;  $\eta = \frac{\rho_b - \rho}{\rho_b - \rho_t}$  — степень (глубина) фазового превращения компонентов;  $\rho$  — плотность;  $R$  — универсальная газовая постоянная;  $\varphi$  — объемная доля;  $c_p$ ,  $\lambda$ ,  $a$  — теплоемкость, коэффициенты тепло- и температуропроводности;  $S$ ,  $V$  — поверхность и объем;  $E$ ,  $Q$ ,  $R_o$ ,  $n$  — энергия активации, тепловой эффект, предэкспонент и порядок экзо- и эндотермических реакций;  $q$ ,  $\nu$  — тепловой эффект и порядок гетерогенной реакции;  $L$ ,  $p_o$ ,  $r$  — энергия активации, предэкспонент и теплота испарения;  $A_o$  — коэффициент испарения (аккомодации);  $p$ ,  $p_a$  — давление и атмосферное давление;  $C$  — массовая концентрация;  $M$  — молекулярная масса;  $\sigma$  — постоянная Стефана — Больцмана;  $\alpha_x$  — коэффициент теплоотдачи вдоль продольной координаты;  $x$ ;  $C_p T$  — энтальпия;  $U_s$  — скорость горения,  $Q_{fw}$  — интегральный тепловой поток от газофазного пламени. Индексы:  $s$  — твердое тело,  $f$  — горючее-связующее,  $o$  — твердый окислитель,  $e$  — внешняя среда,  $ew$  — газовый зазор вокруг зерна окислителя,  $w$  — гетерогенное,  $v$  — поверхностное,  $b$  — начальное,  $t$  — конечное,  $f$  — пламя,  $rad$  — излучающая стенка,  $*$  — характерное,  $ws$  — гетерогенное вокруг зерна ПХА,  $eff$  — эффективное,  $r$  — лучистое,  $ign$  — зажигание,  $abs$  — поглощенное,  $comb$  — горение,  $g$  — газ.

Запишем выражения для теплофизических характеристик в следующем виде:

объемная теплоемкость твердого тела<sup>1</sup>

$$\rho_s c_{ps} = \varphi_o c_{po} \rho_o + \varphi_f c_{pf}, \quad (10)$$

коэффициент теплопроводности твердого тела

$$\lambda_s = \varphi_o \lambda_o + \varphi_f \lambda_f, \quad (11)$$

коэффициент теплопроводности продуктов в газовой фазе

$$\lambda_g = 23 \cdot 10^{-4} \sqrt{0,5(T_f + T_{sb})}. \quad (12)$$

Уменьшение интенсивности конвективного теплообмена за счет вдува испаряющихся веществ в пограничный слой учитывается введением поправки  $\Delta\alpha_x/\alpha_x$  на коэффициент теплоотдачи  $\alpha_x$  в граничном условии (6):

$$\frac{\Delta\alpha_v}{\alpha_x} = \sum_{\zeta} W_{\zeta} (1 - \eta_{\zeta w}) \exp\left(-\frac{b_{\zeta} E_o}{RT_w}\right) \quad (\zeta = v, o, f, ws). \quad (13)$$

Параметр  $W_{\zeta}$  характеризует свойства газа в набегающем потоке и вдуваемых веществ в пограничный слой, а также конфигурацию и геометрические размеры реагирующего твердого тела. Поэтому конкретный вид выражений для  $W_{\zeta}$  будет зависеть от выбора формул для  $\alpha_x$  (см., например, [7, 8]).

<sup>1</sup>Аналогично могут быть записаны выражения (10) и (11) для любого числа твердофазных компонентов.

Для определения потока тепла от пламени, поступающего на поверхность гетерогенной системы при воспламенении и горении, применим модель конкурирующих пламен [13, 17]. Тогда, используя эффективные высоты отдельно взятых пламен и массовые скорости горения, получим зависимости [13, 16, 17]

$$\xi_{fo} = (c_{pg}/\lambda_g)(\rho_o/\rho_s)m_s Y_{fo}^*, \quad \xi_f = (c_{pg}/\lambda_g)m_s Y_f^*, \\ \xi_{ff} = (c_{pg}/\lambda_g)(\rho_f/\rho_s)m_s Y_{ff}^*, \quad (14)$$

$$Y_{fo}^* = (\rho_o/\rho_s)(m_s/(m_{fo}\bar{p}_e^{\delta_{fo}})), \quad Y_f^* = m_s/(m_f\bar{p}_e^{\delta_f}) + 0,3\bar{D}_c, \\ Y_{ff}^* = m_s/(m_f\bar{p}_e^{\delta_f}) + 0,3/(8\bar{D}_c), \quad (15)$$

где

$$\bar{p}_e = p_e/p_a, \quad \bar{D}_c = 1,332\bar{R}_a, \quad m_s = \rho_s k_{os} \exp(-E_s/RT_{comb}), \\ m_{fo} = \rho_{fo} k_{ofo} \exp\left(-\frac{E_o}{RT_{fo}}\right), \quad m_f = (\rho_f)^n/k_{of} \exp\left(-\frac{E_f}{RT_f}\right). \quad (16)$$

Используя результаты работ [1, 16, 17] и учитывая (14)–(16), запишем выражение для интегрального теплового потока от газофазного пламени

$$Q_{fw} = Y_f^*(\rho_f/\rho_s)Q_f\rho_{fw} \exp(-\xi_f). \quad (17)$$

Соответствующее выражение для объемной доли твердого окислителя, проагировавшего в газовой фазе, запишется в виде

$$\varphi_f = \beta_f C_{fo} \left\{ (1 + C_f/C_e) + C_o \frac{1 - C_{fo}}{C_{fo}} \frac{\rho_o Q_{fo} \exp(-\xi_{fo})}{\rho_f Q_f \exp(-\xi_f)} + \right. \\ \left. + C_f \frac{1 - C_{fo}}{C_{fo}} \left( 1 + \frac{C_o}{C_f} \right) \frac{\rho_f Q_{ff} \exp(-\xi_{ff})}{\rho_f Q_f \exp(-\xi_f)} \right\}. \quad (18)$$

В (18) величина  $\bar{\rho}_f = 1 - \rho_s/\rho_o$ , а концентрация  $C_{fo}$  определяется по модели конкурирующих пламен [1, 16, 17]

$$C_{fo} = (\bar{Y}_{fo}^* - \bar{Y}_{ff}^*)/(0,4\bar{R}_o).$$

В уравнениях (10)–(18) приняты следующие обозначения:  $m$  — массовая скорость горения,  $Y^*$ ,  $\xi$  — высота и безразмерная высота пламени,  $\delta_{fo}$ ,  $\delta_f$ ,  $n_f$  — порядки реакций газофазных пламен [1, 13, 16, 17]. Индекс  $g$  означает принадлежность параметров газовой фазе.

Остановимся подробнее на определении концентрации окислительного компонента в газовом зазоре вокруг зерна окислителя и на поверхности горючего-связующего при окислении последнего за счет гетерогенной реакции  $\nu$ -го порядка [7, 8]. В начальные моменты времени, когда газовый зазор еще отсутствует (т.е.  $\eta_f$  и  $\eta_o \rightarrow 0$ ), связующее окисляется за счет молекулярного кислорода из внешней среды на видимой плоской поверхности (поверхностные и объемные доли горючего и окислителя отождествляются). При образовании газового зазора окисление идет по всей поверхности вокруг зерна окислителя с соответствующей долей  $\varphi_{os}$ , а концентрация выхода кислорода при терморазложении окислителя может быть скоррелирована с концентрацией катализатора.

Действительно, масс-спектроскопические исследования при горении гетерогенной системы (ПММА + ПХА) показали [14], что местом действия катализатора на интенсификацию процессов окисления связующего является конденсированная фаза. А это может происходить за счет увеличения концентрации кислорода в газовом зазоре при терморазложении ПХА в

присутствии катализатора. Например, введение  $\text{Fe}_2\text{O}_3$  увеличивает выход кислорода при разложении ПХА, по данным [15], с 0,54 до 0,73. Таким образом, для учета этого эффекта в уравнения (1) и (4) при определении  $C_{ew}$  необходимо ввести долю выхода кислорода  $\nu'$ , которая будет зависеть от процентного содержания и типа катализатора [14, 15]

$$C_{ew} = \nu' \varphi_o C_o + \varphi_f C_e.$$

Считаем также, что доля продуктов терморазложения зерен окислителя  $\varphi_{fo}$ , реагирующих в газовой фазе [16, 17], изменяется незначительно за счет выгорания окислительного компонента (кислорода)  $C_{ew}$  в процессе гетерогенного окисления [11, 16]. Кроме того, это выгорание может компенсироваться поступлением окислителя из внешней среды при догорании продуктов газификации в конечном диффузационном пламени [1, 17] в соответствии с представлениями по модели конкурирующих пламен [17]. Рассмотренная кинетическая схема термоокислительной деструкции горючего-связующего позволяет рассчитать скорости терморазложения компонентов гетерогенной системы, а также учсть влияние катализаторов на протекающие процессы в конденсированной фазе.

Анализ работ [12, 18] показывает, что при построении математических моделей воспламенения и горения гетерогенных систем необходимо учитывать испарение компонентов [7, 10]. Для горючего-связующего оно идет через разрыв слабых связей макромолекул [12] в поверхностном слое полимера, а для твердого окислителя — через сублимацию [15] по закону Герца — Кнудсена — Ленгмюра [7, 10]. Обычно кинетические характеристики сублимации и разрыва макромолекул по слабым связям близки друг к другу. Поэтому, чтобы не загромождать модель, в граничном условии (7) записан один член, характеризующий брутто-процесс испарения с эффективными кинетическими параметрами. Их значения определяются через объемные доли компонентов так же, как и теплофизические характеристики (см. формулы (10) и (11)).

### Безразмерная форма уравнений

Для общности анализа протекающих в гетерогенной и гетерофазной системах процессов сведем исходную систему уравнений к безразмерному виду. Поскольку теория размерностей и подобия не дает однозначного ответа на способ выбора характерных величин (масштабов), при их выборе используем энергетический подход [7] по наибольшему вкладу того или иного процесса в тепловыделение в конденсированной фазе. Учитывая это, все размеры задачи выражим через параметры реакции терморазложения твердого окислителя. Тогда исходная система уравнений примет вид

$$\begin{aligned} \frac{\partial \Theta_s}{\partial \tau} + Da_s \frac{\partial \Theta_s}{\partial \xi} &= \frac{\partial^2 \Theta_s}{\partial \xi^2} + \varphi_o \Delta_o (1 - \eta_o)^{n_o} \exp\left(\frac{\Theta_s}{1 + \beta \Theta_s}\right) - \\ &- \varphi_f \Delta_f (1 - \eta_f)^{n_f} \exp\left(\frac{b_f \Theta_s}{1 + \beta \Theta_s}\right) + \varphi_{ws} \frac{\Delta_{ws} (1 - \eta_{ws})}{(1 + \beta \Theta_s)^\nu} \exp\left(\frac{b_w \Theta_s}{1 + \beta \Theta_s}\right), \end{aligned} \quad (19)$$

$$\frac{\partial (\varphi_o \eta_o)}{\partial \tau} + Da_s \frac{\partial (\varphi_o \eta_o)}{\partial \xi} = \varphi_o \gamma_o \Delta_o (1 - \eta_o)^{n_o} \exp\left(\frac{\Theta_s}{1 + \beta \Theta_s}\right), \quad (20)$$

$$\frac{\partial (\varphi_f \eta_f)}{\partial \tau} + Da_s \frac{\partial (\varphi_f \eta_f)}{\partial \xi} = \varphi_f \gamma_f \Delta_f (1 - \eta_f)^{n_f} \exp\left(\frac{b_f \Theta_s}{1 + \beta \Theta_s}\right), \quad (21)$$

$$\frac{\partial (\varphi_{ws} \eta_{ws})}{\partial \tau} = \varphi_{ws} \frac{\gamma_{ws} \Delta_{ws} (1 - \eta_{ws})}{(1 + \beta \Theta_s)^\nu} \exp\left(\frac{b_w \Theta_s}{1 + \beta \Theta_s}\right) \quad (22)$$

с начальными и граничными условиями

$$\begin{aligned} \tau = 0: \quad \Theta_s = \Theta_{sb}, \eta_o = \eta_f = \eta_{ws} = 0, \\ \xi = \infty: \quad \Theta_s = \Theta_{sb}, \eta_o = \eta_f = \eta_{ws} = 0, \partial\Theta_s/\partial\xi = 0, \end{aligned} \quad (23)$$

$$\begin{aligned} \xi = 0: \quad -\frac{\partial\Theta_s}{\partial\xi} = \text{Nu}_z \left( 1 - \frac{\Delta\alpha_x}{\alpha_x} \right) (\Theta_e - \Theta_w) + \bar{q}_{rw}(\Theta_w) + \left( \frac{\varphi_c}{\gamma_v} \right) Da_s H_{ow} - \\ - \left( \frac{\varphi_f}{\gamma_f} \right) Da_s H_{fw} + \frac{1}{\gamma_f} \frac{\partial(\varphi_f \eta_{fw})}{\partial\tau} - \frac{1}{\gamma_v} \frac{\partial(\varphi_o \eta_{ow})}{\partial\tau}, \end{aligned} \quad (24)$$

где

$$\frac{\partial(\varphi_f \eta_{fw})}{\partial\tau} = \varphi_f \gamma_f \Delta_f \frac{(1 - \eta_{fw})}{(1 + \beta\Theta_w)^2} \exp\left(\frac{b_f \Theta_w}{1 + \beta\Theta_w}\right), \quad (25)$$

$$\frac{\partial(\varphi_o \eta_{ow})}{\partial\tau} = \varphi_o \gamma_o \Delta_o \frac{(1 - \eta_{ow})}{(1 + \beta\Theta_w)^{0.5}} (1 - \bar{p}_{ow}) \exp\left(\frac{b_o \Theta_w}{1 + \beta\Theta_w}\right). \quad (26)$$

Здесь приняты следующие обозначения масштабов, безразмерных переменных и параметров (комплексов и симплексов):  $\tau = t/t_*$ ,  $\xi = y/y_*$ ,  $\Theta = E_o(T - T_*)/(RT_*^2)$  — время, координата и температура;  $t_* = \rho_s c_{ps} RT_*^2 (\rho_o Q_{oo} E_o)^{-1} \exp(E_o/RT_*)$ ,  $y_*^2 = a_s t_*$ ,  $q_* = \lambda_s RT_*^2 / (y_* E_o)$ ,  $T_*$  — масштабы времени, длины, теплового потока и температуры;  $\bar{q}_{rw} = q_{rw}/q_*$  — лучистый тепловой поток;  $\beta_x$ ,  $\beta = RT_*/E_o$ ,  $b_z = E_z/E_o$ ,  $H_{ow} = h_{ow}/Q_o$ ,  $H_{fw} = h_{fw}/Q_f$ ,  $\gamma_z = c_{fw} \rho_s RT_*^2 / (\rho_z Q_z E_o)$  ( $z = v, f, o, f, ws$ ) — параметры;  $\text{Nu}_x = \alpha_x y_* / \lambda_s$  — коэффициент теплоотдачи вдоль координаты  $x$ ;

$$\begin{aligned} \Delta_f &= \rho_f Q_f k_{of} (\rho_o Q_o k_{oo})^{-1} \exp[(E_o - E_f)/RT_*], \\ \Delta_{ws} &= \frac{2R_o^{-1}(qk_o)_w (\rho_o C_{ew})^v}{\gamma_o} (\rho_o Q_o k_{oo})^{-1} \exp[(E_o - E_w)/RT_*], \\ \Delta_o &= \frac{2}{R_o} \frac{A_o}{\gamma_o} \frac{\rho_s c_{ps} RT_*}{\sqrt{2\pi RT_* / M_o}} \frac{RT_*^2}{E_o} (\rho_o Q_o k_{oo})^{-1} \exp(E_o/RT_*), \\ \Delta_f &= \left[ \frac{Y_f^*}{y_*} \exp(-\xi_f) \right] \frac{\rho_f Q_f k_{of} \rho_{f*}}{\rho_o Q_o k_{oo}} \exp\left(\frac{E_o - E_f}{RT_*}\right) \end{aligned}$$

— параметры, характеризующие интенсивности реакций терморазложения горючего-связующего, гетерогенного окисления, испарения компонентов системы с развитой поверхностью и тепловыделение на поверхности за счет газофазных реакций при  $n_f = 2$ ;  $Da_s = y_* U_s/a_s$  — число Дамкеллера [10];  $\bar{p}_{ow} = (p_e/p_{ow})(c_{ow}/M_o) \sum C_i/M_i \exp(L_o/RT_w)$  — парциальное давление паров испаряющегося брутто-компоненты на поверхности.

В уравнениях (19)–(21) и в граничном условии (24) число  $Da_s$  определялось через отношение механического времени  $t_{\text{max}}$  к характерному  $t_x = a_s/U_s$ . При этом за  $t_{\text{max}}$  бралось время прохождения волной горения характерного размера  $y_*$ , т.е.  $t_{\text{max}} = y_*/U_s$ .

#### Результаты численных расчетов. Сравнение с экспериментом

Применением интегрального преобразования Лапласа аналогично [7, 8, 10], а также асимптотического метода вычисления несобственных интегралов по пространственной координате  $\xi$ , нестационарная задача (1)–(9) сведена к системе нелинейных интегральных уравнений типа Вольтерра.

Рис. 1. Динамика изменения температуры поверхности  $\Theta_w$  (2) и степени превращения компонентов  $\eta_{zw}$ ; 1 —  $\eta_{ow}$ , 3 —  $\eta_{fw}$ , 4 —  $\eta_{ow}$ , 5 —  $\eta_{ws}$ , 6 —  $\eta_{fw}$ .

Численная реализация полученной системы проводилась методом итераций, изложенным в [7, 8, 10], с соответствующим тестированием. При этом вся задача разбивалась на две части. Первая решалась численно указанным методом для  $Da_s < 0,1$ , т.е. при малости конвективных членов в уравнениях (19)–(21) и на границе (24). Для оценки стационарной скорости горения  $U_s$  (вторая часть задачи) может быть использован подход [2, 3]. Для этого необходимо учесть все члены в уравнениях, отвечающие за тепловыделение на поверхности при стационарном распространении волны горения.

На рис. 1 приведены результаты численного расчета при следующих входных данных:  $\Theta_{sb} = -11,2$ ,  $\Theta_e = 13,35$ ,  $Nu_x = 0,02624$ ,  $\bar{q}_{rw} = 0,631$ ,  $\beta = 0,052$ ,  $\Theta_{rad} = 16,87$ ,  $\varphi_o = 0,303$ ,  $b_o = 0,4685$ ,  $W_o = 5,0$ ,  $\gamma_o = 0,1096$ ,  $\Delta_o = 3491$ ,  $\varphi_f = 0,1$ ,  $n_f = 2$ ,  $b_f = 0,3717$ ,  $\gamma_f = 0,0608$ ,  $\Delta_f = 79,98$ ,  $n_f = 1$ ,  $\varphi_f = 0,255$ ,  $b_f = 0,9734$ ,  $W_f = 5$ ,  $\gamma_f = 0,1958$ ,  $\Delta_f = 0,203$ ,  $\varphi_o = 0,442$ ,  $n_o = 1$ ,  $W_o = 2$ ,  $\gamma_o = 0,0368$ ,  $\varphi_{ws} = 0,113$ ,  $\nu = 0,33$ ,  $b_w = 0,5044$ ,  $\Delta_{ws} = 4,5$ ,  $\gamma_{ws} = 0,0224$ ;  $W_{ws} = 0$ .

Как следует из рис. 1, при таком наборе исходных данных сначала испаряются продукты терморазложения горючего-связующего по слабым звеньям и сублимации окислителя (кривая 1), которые воспламеняются и сгорают в газовой фазе (рис. 1, 3). После завершения экзотермического превращения твердого окислителя (рис. 1, 4) наблюдается колебательный выход на режим стационарного горения  $\Theta_{comb} \approx 7,4$ . Данный пример иллюстрирует одну из возможных причин расхождения экспериментальных данных при определении времени зажигания  $\tau_{ign}$  по появлению пламени и по методу «да — нет» [19, 20].

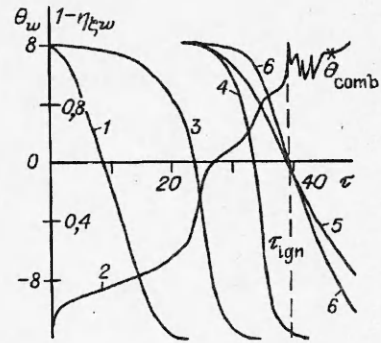
Для экспериментальной проверки работоспособности предложенной математической модели (1)–(9) использованы данные по зажиганию и горению модельного состава (ПММА + ПХА) при различном соотношении компонентов, представленные в [19]. Набор кинетических и теплофизических характеристик взят из работ [1, 7 — 9, 12 — 16, 18, 21]:  $\rho_f = 1200 \text{ кг}/\text{м}^3$ ,  $C_{pf} = 1,605 \text{ кДж}/(\text{кг}\cdot\text{К})$ ,  $\lambda_f = 0,176 \text{ Вт}/(\text{м}\cdot\text{К})$ ,  $n_f = 1,0$ ,  $E_f = 110 \text{ кДж}/\text{моль}$ ,  $Q_f = 366 \text{ кДж}/\text{кг}$ ,  $k_{of} = 10^8 \text{ с}^{-1}$ ,  $\rho_o = 1900 \text{ кг}/\text{м}^3$ ,  $C_{po} = 1,295 \text{ кДж}/(\text{кг}\cdot\text{К})$ ,  $\lambda_o = 0,453 \text{ Вт}/(\text{м}\cdot\text{К})$ ,  $E_0 = 113 \text{ кДж}/\text{моль}$ ,  $n_o = 1,0$ ,  $k_{oo} = 1,585 \cdot 10^8 \text{ с}^{-1}$ ,  $Q_o = 1200 \text{ кДж}/\text{кг}$ ,  $E_w = 57 \text{ кДж}/\text{моль}$ ,  $q_w = 3600 \text{ кДж}/\text{кг}$ ,  $k_{ow} = 2000 (\text{кг}/(\text{м}^2\cdot\text{с})) \cdot (\text{м}^3/\text{с})$ ,  $\nu = 0,33$ ;

параметры сублимации ПХА:  $L_o = 52,22 \text{ кДж}/\text{моль}$ ,  $M_o = 117,5 \cdot 10^{-3} \text{ кг}/\text{моль}$ ,  $r_o = 2060 \text{ кДж}/\text{кг}$ ,  $k_{oo} = 4 \cdot 10^9 (\text{Дж}\cdot\text{кг})^{0,5}/(\text{м}^2\cdot\text{с})$ ,  $n_o = 1,0$ ;

параметры разрыва слабых связей ПММА:  $L_f = 54,5 \text{ кДж}/\text{моль}$ ,  $r_f = 545 \text{ кДж}/\text{кг}$ ,  $M_f = 0,1 \text{ кг}/\text{моль}$ ,  $C_{ff} = 0,26 \cdot C_f$ ,  $A_o p_{ow} = 7,5 \cdot 10^8 (\text{Дж}\cdot\text{кг})^{0,5}/(\text{м}^2\cdot\text{с})$ ;

параметры реакций в к-фазе и в пламенах:  $E_f = 66 \text{ кДж}/\text{моль}$ ,  $k_{os} = 12 \text{ м}/\text{с}$ ,  $E_{fo} = 65 \text{ кДж}/\text{моль}$ ,  $k_{of} = 1,1 \cdot 10^7 \text{ с}^{-1}$ ,  $T_{ign} = 1400 \text{ К}$ ,  $M_{fo} = M_{ff} = 0,036 \text{ кг}/\text{моль}$ ,  $E_f = 42 \text{ кДж}/\text{моль}$ ,  $k_{of} = 3,1 \cdot 10^6 \text{ м}^3/(\text{кг}\cdot\text{с})$ ,  $M_f = 41,7 \cdot 10^{-3} \text{ кг}/\text{моль}$ ,  $\delta_{fo} = \delta_f = 1,8$ .

Теплоемкость газовой фазы постоянна и равна [9]  $c_{pg} = 1,922 \text{ кДж}/(\text{кг}\cdot\text{К})$ .



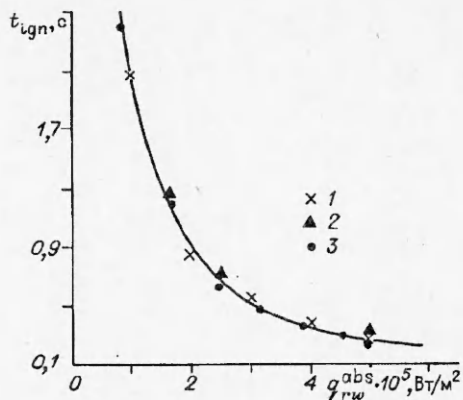


Рис. 2. Зависимость времени зажигания смеси ПММА + ПХА со стехиометрическим соотношением компонентов ( $\chi = 1$ ) от величины поглощенного лучистого потока при  $p_e = 0,1 \text{ МПа}$  и  $C_e = 0,23$ .  
1 — расчет по (1) — (9), 2 — расчет по брутто-реакции, 3 — эксперимент [19].

На рис. 2 приведены экспериментальные и расчетные зависимости  $t_{\text{ign}}$  от величины поглощенного радиационного теплового потока  $q_{\text{rw}}^{\text{abs}}$  при стехиометрическом соотношении компонентов  $\chi$ . В качестве критерия зажигания при определении  $t_{\text{ign}}$  взято время достижения температуры горения  $T_{\text{comb}}$ .

Расчеты показали хорошее согласие с экспериментом [19], а влияние гетерогенной реакции окисления (эксперименты проводились в воздухе) оказалось незначительным (менее 1%). Там же приведены результаты расчетов по простейшей модели с использованием одной твердофазной брутто-реакции (классический подход [4]), параметры которой определены через характеристики и объемные доли исходных компонентов. Расхождение не превышает ~10%, что указывает на правомерность использования таких моделей в теории воспламенения гетерогенных систем при  $\chi = 1$ .

Рассмотрим гетерогенные смеси, когда  $\chi \neq 1$ . Экспериментами [19] установлено, что нестехиометрическое соотношение компонентов оказывает значительное влияние на время  $t_{\text{ign}}$  при зажигании постоянным тепловым потоком. Этот факт, а также влияние размеров зерен ПХА [19] не могут быть описаны в рамках простейших моделей, что подтверждается результатами расчетов на рис. 3. Здесь зависимости  $t_{\text{ign}}$  от концентрации окислителя  $C_o$  имеют минимум в области стехиометрии  $\chi = 1$ , а при  $\chi \leq 1$  время зажигания возрастает в ~1,9 раза. Увеличение зерен ПХА в 3,5 раза приводит к росту  $t_{\text{ign}}$  до ~30%, причем наибольшая разница достигается в области стехиометрии  $\chi = 1$ . Разброс расчетных точек по простейшей модели (2) носит хаотический характер и не отражает опытных закономерностей [19].

В связи с разработкой воспламенительных устройств с повышенным окислительным потенциалом в поджигающем потоке представляет практический интерес исследовать влияние окислительной среды на характеристики зажигания смесевых составов с различными  $\chi$ . С этой целью были проведены специальные эксперименты по зажиганию прессованных образцов из ПММА + ПХА с  $R_o \approx 65 \div 85 \cdot 10^{-6} \text{ м}$ , методика приготовления которых аналогична [19]. Эксперименты проведены на установке радиационно-конвективного нагрева, описанной в [7, 8].

На рис. 4 показана типичная осциллограмма  $T_w(t)$  при нестационарном нагреве и зажигании гетерогенных смесей ПММА + ПХА. Образцы зажигались в потоке технически чистого кислорода ( $C_e = 0,98$ ) с  $T_e = 1080 \text{ К}$ . Представленные  $T_w(t)$  качественно подтверждают поведение кривых разогрева и зажигания, полученных численным расчетом (см. рис. 1).

Рис. 3. Зависимость времени зажигания от концентрации ПХА при  $q_{\text{rw}}^{\text{abs}} = 1,7724 \cdot 10^5 \text{ Be/m}^2$ .  
1 — расчет по модели (1) — (9); 2 — расчет по брутто-реакции; 3, 4 — эксперимент [19] (3 — ПХА,  $R_o = 175 \cdot 10^{-6} \text{ м}$ ; ПММА,  $R_f \approx 50 \cdot 10^{-6} \text{ м}$ ; 4 — ПХА,  $R_o = 50 \cdot 10^{-6} \text{ м}$ ; ПММА,  $R_f \approx 50 \cdot 10^{-6} \text{ м}$ ).

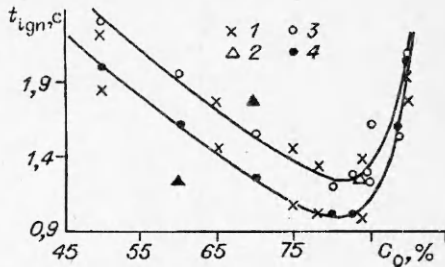
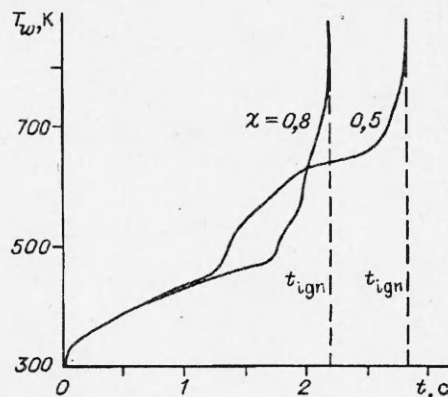


Рис. 4. Осциллографмма записи температуры поверхности от времени образца из ПММА + ПХА.



Для количественного согласования выполнена серия расчетов с  $\chi = 0,5, 0,8$  и  $1,0$ . Увеличение  $C_e$  и  $\chi$  приводит к уменьшению  $t_{ign}$  (рис. 5), причем расхождение с экспериментом не превышает  $\sim 4\%$ .

Проанализируем с помощью предложенной модели зависимости  $t_{ign}(p_e)$  и  $t_{ign}(C_e)$  при воздействии на модельный состав ПММА + ПХА лучистым потоком  $q_{\text{abs}}^{abs} = 1,7724 \cdot 10^5 \text{ Вт}/\text{м}^2$  [19]. Из опытных данных известно, что  $p_e$  и  $C_e$  существенно влияют на зажигание гетерогенных систем на основе ПХА до  $p_e \leq 2 \text{ МПа}$ . На рис. 6 приведены результаты расчетов  $t_{ign} = f(p_e, C_e)$  для стехиометрической смеси ПММА + ПХА с привлечением экспериментальных данных из [21]. Обнаружена сильная зависимость  $t_{ign}(p_e)$  в том же диапазоне изменения  $p_e$ , что и в [21]. В то же время отсутствует влияние окислительной атмосферы в отличие от [20], где в качестве критерия зажигания взято появление видимого пламени (вспышка) в газовой фазе. Как следует из рис. 1, 3, вспышка происходит раньше, чем температура поверхности станет близка к температуре горения. Наличие кислорода в окружающей среде интенсифицирует процессы воспламенения в газовой фазе, что и приводит к уменьшению  $t_{ign}$  в [20]. Неучет этого фактора в моделях не позволяет, по-видимому, многим теориям (см., например, [22]) объяснить расхождение результатов расчетов с данными эксперимента при воздействии на смесевой состав лучистыми потоками  $q_{\text{abs}}^{abs} > 10^6 \text{ Вт}/\text{м}^2$  [20, 22].

Проведенные расчеты показали, что предложенную модель можно с хорошей точностью использовать при проектировании гетерогенных систем с заданными свойствами в широком диапазоне изменения параметров внешнего воздействия.

В заключение остановимся на методике определения времени зажигания по критерию «да — нет» [6, 20]. Неудобство использования этого критерия в исследованиях анализировалось в [6]. Действительно, чтобы получить нужное значение  $t_{ign}$ , необходимо провести по меньшей мере два варианта расчетов. Ситуация усугубляется еще и тем, что появление светящегося пламени с возможным переходом к стационарному горению при отключении внешнего источника сопровождается сильными нестационарностями (см. рис. 1), в том числе и погасанием [6]. Кроме того, возможно и вторичное самовоспламенение за счет тепла, аккумулированного в прогретом слое топлива. Это справедливо как для одно- [23, 24], так и для многокомпонентных гетерогенных систем. В качестве примера на рис. 7 приведены расчетные кривые  $\Theta_w(\tau)$ ,  $\eta_{fw}(\tau)$  и  $\eta_{ow}(\tau)$  для различных моментов отключения  $\tau_{swit}$  внешнего источника лучистого нагрева. Серия кривых 1 соответствует однокомпонентному топливу. Расчеты проведены по данным работы [6].

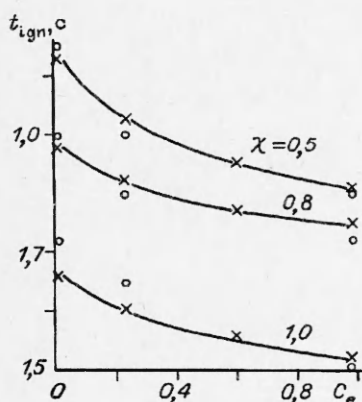


Рис. 5. Зависимость времени зажигания от концентрации кислорода в потоке газа для различных смесевых составов ПММА + ПХА;  $T_e = 1200 \text{ K}$ ,  $\bar{T}_{red} = 1330 \text{ K}$ ,  $A_{eff} = 0,53$ ,  $\beta_x = 600 \text{ с}^{-1}$ ,  $p_e = 0,1 \text{ МПа}$ .  
x — расчет по (1) — (9), 0 — эксперимент.

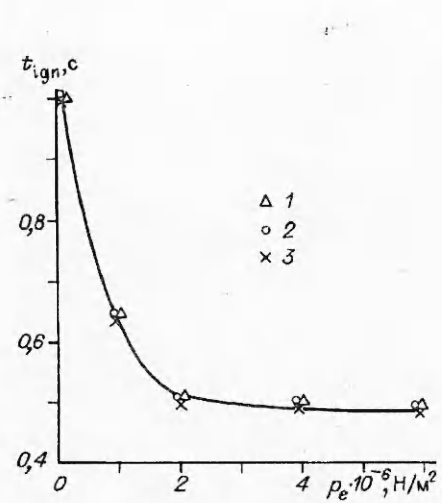


Рис. 6. Зависимость  $t_{ign}(p_e)$  при зажигании лучистым потоком ПММА + ПХА ( $\gamma = 1$ ,  $R_o = 27,5 \cdot 10^{-6}$  м).  
 $C_p$ : 1 — 0, 2 — 0,23, 3 — 0,98.

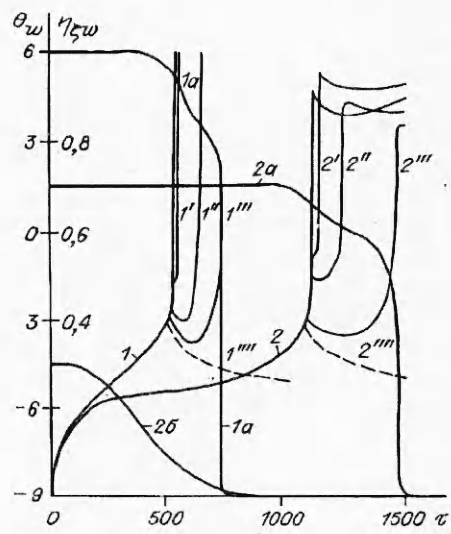


Рис. 7. Расчетные зависимости  $\Theta_w(\tau)$ ,  $\eta_{ow}(\tau)$  (1a, 2a) и  $\eta_{frw}(\tau)$  (2б) при импульсном подводе тепла  $q_{rw}$  с различными  $\tau_{ign}$ . Кривые воспламенения: 1 — 530, 1' — 520, 1'' — 510, 1''' — 505; 2 — 1150, 2' — 1140, 2'' — 1130, 2''' — 1113; кривые погасания: 1'''' — 500, 2''''' — 1110.

при  $q_{rw} = 0,203$ . Видно, что незначительная ошибка во времени отключения  $\Delta\tau \sim 40$  приводит к погрешности в определении  $\tau_{ign}$  по критериям «да — нет» до  $\sim 30\%$ . В связи с этим предпочтение при качественном и количественном анализе необходимо отдавать данным, полученным с помощью микротермопарной методики [7, 14, 19], с одновременным проведением тестовых расчетов по предложенной выше математической модели.

### Выводы

- Предложена математическая модель многокомпонентного реагирующего твердого тела, позволяющая изучать процессы воспламенения смесевых систем при нестационарном тепло- и массообмене.
- Новыми элементами модели является учет испарения и гетерогенного взаимодействия между компонентами вокруг зерна ПХА с эффективным радиусом  $R_o$ , а также интегрального тепловыделения от газофазных реакций через эффективные высоты отдельно взятых пламен.
- Предложенная модель апробирована на смесевой системе ПММА + ПХА. Получены зависимости времени зажигания от величины падающих тепловых потоков, компонентного состава и параметров внешней среды.
- Проанализированы возможные ошибки при экспериментальном определении времени зажигания гетерогенных систем. В частности, по методу «да — нет» они могут достигать  $\sim 30\%$ .

### ЛИТЕРАТУРА

- Гусаченко Л.К., Зарко В.Е., Зырянов В.Я. и др. Моделирование процессов горения твердых топлив. — Новосибирск: Наука, 1985. — 182 с.
- Струнин В.А., Манелис Г.Б. Механизм горения смесевых твердых топлив // ФГВ. — 1979. — 15, № 5. — С. 24—33.
- Новожилов Б.В. Нестационарное горение твердых ракетных топлив. — М.: Наука, 1973. — 176 с.

4. Вилюнов В.Н. Теория зажигания конденсированных веществ. — Новосибирск: Наука, 1984. — 190 с.
5. Саммерфилд М., Сатерленд Г.С., Уэбб М.Дж. и др. Механизм горения топлив на перхлорате аммония // Исследование ракетных двигателей на твердом топливе: Пер. с англ. / Под ред. И.Н. Козловского. — М.: ИЛ, 1963. — С. 104—129.
6. Глотов О.Г., Зарко В.Е. Численное моделирование зажигания конденсированного вещества с независимыми эндо- и экзотермическими реакциями // ФГВ. — 1984. — 20, № 4. — С. 3—10.
7. Исааков Г.Н. Моделирование настационарных процессов тепломассопереноса и воспламенения в реакционноспособных средах. — Томск: Изд-во ТГУ, 1988. — 234 с.
8. Исааков Г.Н., Касьянов Г.С. Колебательные режимы зажигания реагирующих веществ при сложном тепломассообмене // ПМТФ. — 1988. — № 3. — С. 129—137.
9. Кумар М., Уиллс Дж.Э., Кулкарни А.К. и др. Полная модель воспламенения смесевого ракетного топлива на основе перхлората аммония // Аэрокосмическая техника. — 1985. — 3, № 1. — С. 36—47.
10. Алексеев Б.В., Гришин А.М. Физическая газодинамика реагирующих сред. — М.: Вышш. шк., 1985. — 464 с.
11. Hermance C.E. A model of composite propellant combustion surface heterogeneity and heat generation // AIAA J. — 1966. — 4, N 9. — P. 160—171.
12. Lengell G. Thermal degradation kinetics and surface pyrolysis of vinyl polymers // Ibid. — 1970. — 8, N 11. — P. 1989—1996.
13. Cohen N.S., Strand L.D. An improved model for the combustion of AP composite propellants // Ibid. — 1982. — 20, N 12. — P. 1739—1746.
14. Коробейничев О.П., Зенин А.А., Терещенко А.Г. и др. Исследование структуры волны горения смесевых систем на основе ПХА, ПММА и катализатора с помощью масс-спектрометрической и термопарной методик // ФГВ. — 1977. — 13, № 3. — С. 335—342.
15. Джейкобс Р.В.М., Уайтхид Х.М. Разложение и горение перхлората аммония // Механизм, кинетика и катализ термического разложения и горения ПХА / Пер. с англ. — Новосибирск: Наука, 1970. — С. 5—141.
16. Isakov G.N. The mathematical model of ignition and combustion heterogeneous systems // Research on the processes of combustion, explosions and modelling offires / Proceedings Russ. — Japan. Sympos. — Khabarovsk, 1922. — P. 144—150.
17. Бекстед М.В., Дэрр Р.Л., Прайс К.Ф. Модель горения смесевого ТРТ, базирующаяся на нескольких типах пламен // Ракетная техника и космонавтика. — 1970. — 8, № 12. — С. 107—117.
18. Jacobs P.W.M., Powling J. Role of sublimation in the process for the combustion of AP composite propellants // Combust. Flame. — 1969. — 13, N 1. — P. 71—81.
19. Аверсон А.Э., Кругликов Ю.Н., Христофоров А.В. Зажигание и горение модельного состава ПХА + ПММА при различном соотношении компонентов // Физика горения и методы ее исследования: Межвуз. сб. — Чебоксары: Изд-во ЧГУ, 1981. — С. 120—129.
20. Кузнецов В.Т., Марусин В.П., Скорик А.И. К вопросу о механизме зажигания гетерогенных систем // ФГВ. — 1974. — 10, № 4. — С. 526—529.
21. Мальцев В.М., Мальцев М.И., Кащоров Л.Я. Основные характеристики горения. — М.: Химия, 1977. — 320 с.
22. Вилюнов В.Н., Дик И.Г., Зурер А.Б. К теории зажигания гетерогенных систем лучистой энергией // ФГВ. — 1988. — 24, № 4. — С. 3—10.
23. Price E.W., Bradley H.N., Dehority G.L. et al. Theory of ignition of solid propellants // AIAA J. — 1966. — 4, N 9. — P. 1153—1181.
24. Ассовский И.Г., Истратов А.Г., Лейпунский О.И. О самовоспламенении конденсированного вещества // Докл. АН СССР. — 1978. — 239, № 3. — С. 625—628.

634005, г. Томск,  
НИИПММ

Поступила в редакцию 21/X 1993,  
после доработки — 7/XII 1993

УДК 536.46

О.Б. Ковалев

## АДИАБАТИЧЕСКИЙ МЕТОД В ТЕПЛОВОЙ ТЕОРИИ ВОСПЛАМЕНЕНИЯ МЕТАЛЛИЧЕСКИХ ЧАСТИЦ В ГАЗЕ

Получено приближенное решение задачи о воспламенении металлических частиц в газе, математическая постановка которой осложнена наличием нелинейного кинетического закона окисления металла. Даётся аналитическое выражение для задержки воспламенения, структурно подобное полуэмпирической зависимости Фридмана — Мачека. Численные расчеты хорошо согласуются с аналитическим решением.

© О.Б. Ковалев, 1994.